

МЭИ (ТУ)



Кафедра ППЭ

***Московский Энергетический Институт
(технический университет)***

Кафедра полупроводниковой электроники

www.mpei.ru

Применения некристаллических полупроводников



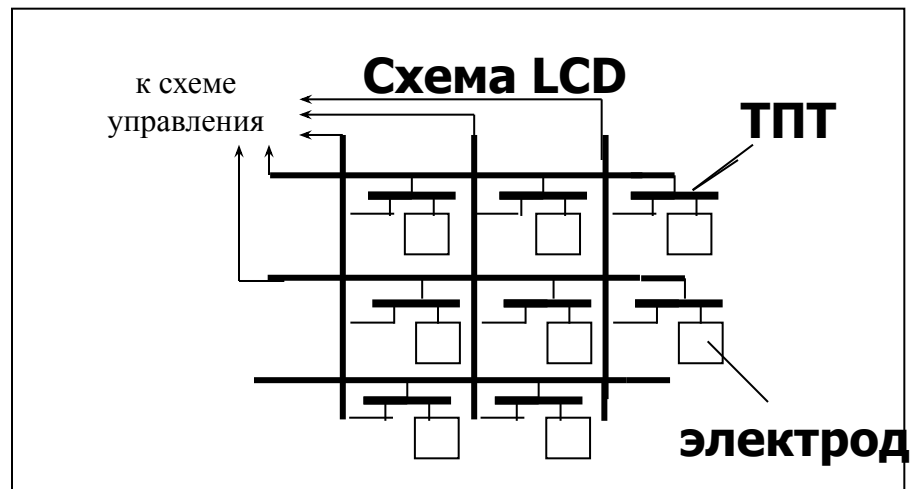
- Аэросъемка ночного города
- стандартный видикон (слева)
 - видикон с лавинным умножением (внизу)



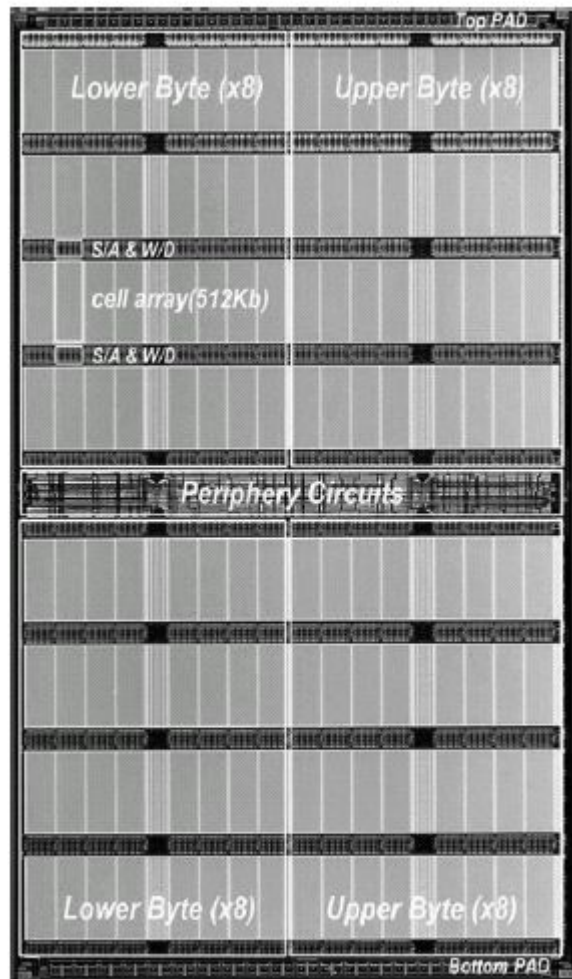


$W = 0,5$ МВт. 4800 панелей размером 5,4 на 0,4 м. Площадь $\sim 2,5$ гектара.

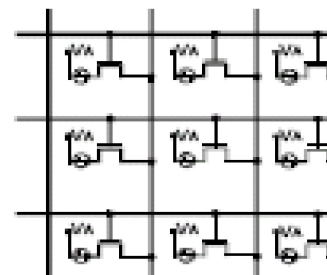
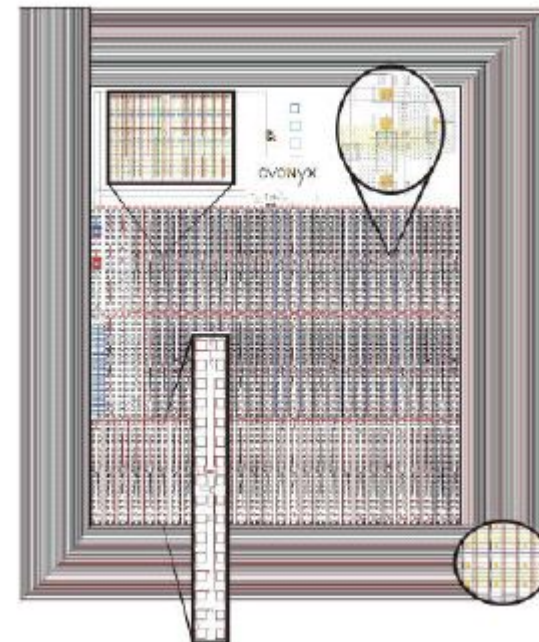
Матрицы ТПТ для ЖК дисплеев



Интегральные схемы памяти на фазовых переходах



Microphotograph of fabricated 64-Mb PRAM chip.



Оптические диски



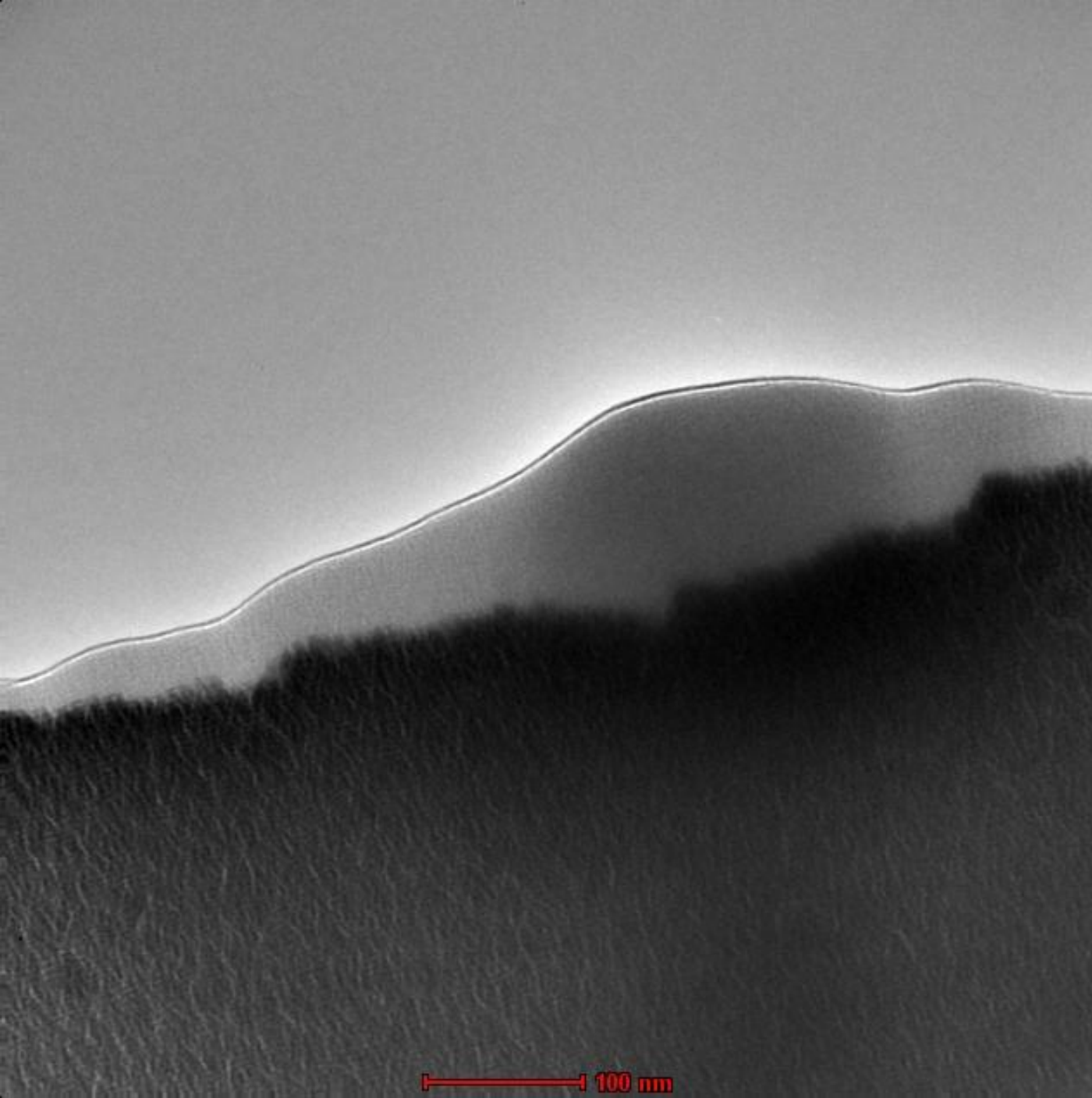
Принтеры и копировальные машины



Электронная микроскопия

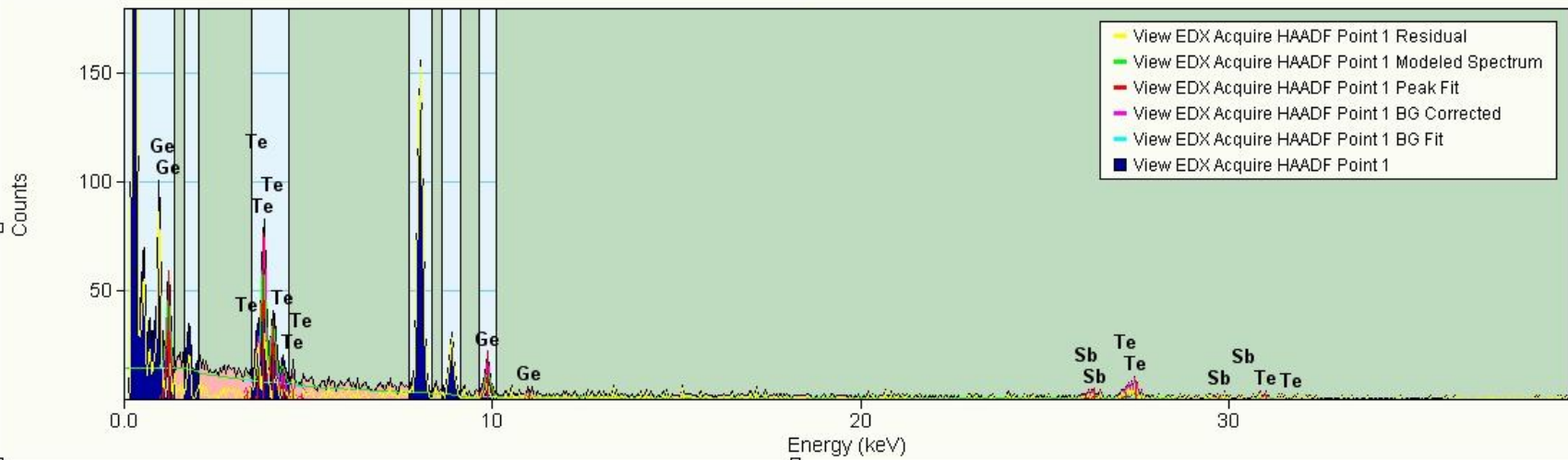
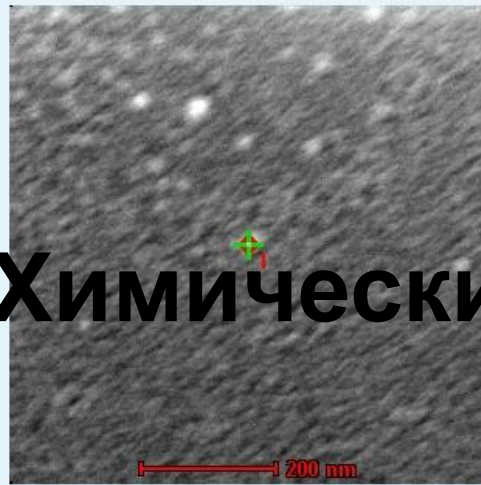


Пленка GST225



Acquire HAADF

Химический состав

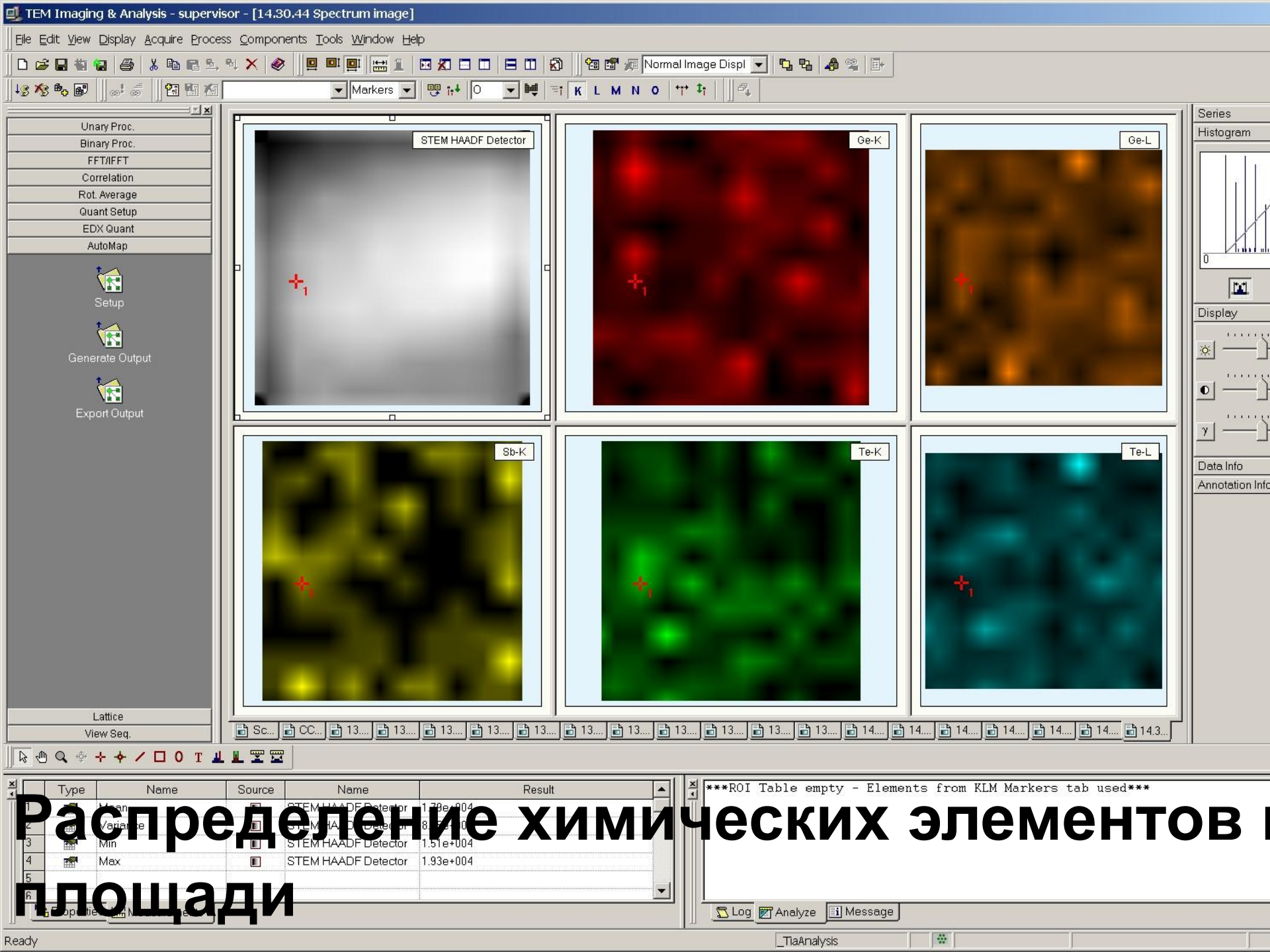


Sca... CC... 13.0... 13.0... 13.1... 13.1... 13.1... 13.1... 13.2... 13.2... 13.2... 13.2... 13.3... 13.3... 13.3... 13.3... 14.0... 14.0... 14.0... 14.1... 14.1...

Correction method: None

Element	Weight %	Atomic %	Uncert. %	Detector Correction	k-Factor
Ge (K)	19.28	29.26	1.41	0.99	2.083
Sb (K)	24.74	22.39	4.02	0.95	9.421
Te (K)	55.97	48.33	5.76	0.93	10.544

Log Analyze Message



Распределение химических элементов по площади

Type	Name	Source	Name	Result
1	Mean	STEM HAADF Detector	1.78e+004	
2	Variance	STEM HAADF Detector	8.11e+000	
3	Min	STEM HAADF Detector	1.51e+004	
4	Max	STEM HAADF Detector	1.93e+004	
5				
6				

ROI Table empty - Elements from KLM Markers tab used

Log Analyze Message